

## اثر دمای ریختن بر برخی مشخصات مکانیکی و دوام جداول بتنی پرسی خشک\*

(پاداشرت پژوهشی)

هرمز فامیلی<sup>(۱)</sup>      محسن تدین<sup>(۲)</sup>      محمدرضا خوش‌سیما<sup>(۳)</sup>

**چکیده** شرایط آب و هوا بی‌گرم یا سرد به شکل‌های مختلفی بر کیفیت بتن تأثیر می‌گذارند که یکی از آن‌ها افزایش یا کاهش دمای اولیه‌ی بتن می‌باشد. در این تحقیق تأثیر دمای اولیه‌ی بتن بر کیفیت آن در جداول بتنی ساخته شده به روش پرسی (فساری) خشک و با استفاده از سیمان پرتلندا، بررسی گردید. بتنهایی با طرح اختلاط یکسان و با دماهای اولیه ۱۷، ۲۵، ۲۹ و ۳۹ درجه‌ی سانتی‌گراد ساخته شدند و تا زمان انجام آزمایش، در شرایط استاندارد آزمایشگاهی عمل آوری شدند. سپس در سنین مختلف آزمایش‌هایی بر روی بتن انجام گرفت. نتایج آزمایش‌ها نشان دادند که دمای بتن در هنگام ریختن، پارامتر تأثیرگذاری بر ویژگی‌های مقاومتی و دوامی بتن می‌باشد. در دمای اولیه‌ی ۳۹ درجه سانتی‌گراد به طور قابل ملاحظه‌ای کیفیت بتن کاهش یافت. در محدوده‌ی دمایی این تحقیق، دمای اولیه‌ی ۲۵ درجه‌ی سانتی‌گراد منجر به بهترین کیفیت در بتن گردید. در سنین ۷ و ۴۲ روز، بتن با دمای اولیه ۲۵ درجه‌ی سانتی‌گراد بالاترین مقاومت فشاری را کسب نمود و کمترین میزان جذب آب نیز در بتن با دمای اولیه ۲۵ درجه‌ی سانتی‌گراد مشاهده شد. بیشترین مقادیر مقاومت ویژه‌ی الکتریکی در سنین بالا متعلق به بتن با دمای اولیه ۱۷ درجه‌ی سانتی‌گراد بود.

**واژه‌های کلیدی** دمای اولیه، بتن بدون اسلامپ، مقاومت فشاری، مقاومت ویژه‌ی الکتریکی، جذب آب، عمق نفوذ آب، مقاومت خمی، جدول بتنی پرسی خشک.

## The Effect of Casting Temperature on some Mechanical Properties and Durability of Dry Pressed Precast Concrete Kerbs

H. Famili      M. Tadayon      M. R. Khoshima

**Abstract** Hot or cold weather condition affects the quality of the concrete in different ways, which one of them is increase or decrease in the initial temperature of the concrete. In this study, the impact of the initial temperature of the concrete on its quality in concrete kerbs made by dry pressing method with Portland cement is examined. Concretes with similar mix designs and initial temperatures of 17, 25, 29, and 39 °C were made and cured in the standard laboratory condition. Then, in different ages some tests were carried out on them. The test results showed that the temperature of the concrete during placement is a parameter that affects the strength and durability properties of the concrete. For the initial temperature of 39 °C, the quality of the concrete had a significant decrease. For the temperature range in this study, the initial temperature of 25 °C resulted in the highest quality of the concrete. In the 7 and 42 days of age, the concrete with 25 °C initial temperature obtained the highest compressive strength and the lowest water absorption. The highest electrical resistivity in high ages was related to the concrete with 17 °C initial temperature.

**Keywords** Initial Temperature, No Slump Concrete, Compressive Strength, Electrical Resistivity, Water Absorption, Depth of Penetration of Water, Bending Strength, Dry Pressed Concrete Kerb.

★تاریخ دریافت مقاله ۸۹/۸/۱۰ و تاریخ پذیرش آن ۹۱/۹/۱۱ می‌باشد.

(۱) استادیار، عضو هیأت علمی، دانشگاه علم و صنعت ایران.

(۲) مریبی، عضو هیأت علمی، دانشگاه بولعلی سینا همدان.

(۳) نویسنده‌ی مسؤول: کارشناس ارشد عمران، گرایش مهندسی و مدیریت ساخت، دانشگاه علم و صنعت ایران.

نیز تعیین دمای اولیه‌ای که منجر به بهترین کیفیت بتن سخت شده می‌گردد.

### مبانی نظری و پیشینه‌ی تحقیق بررسی تأثیر دمای اولیه‌ی ریختن بر کیفیت بتن

مشاهده شده است که افزایش در دمای عمل آوری باعث تسریع واکنش‌های شیمیائی هیدراسیون می‌گردد و بنابراین بدون این که اثرات نامساعدی بر مقاومت بعدی داشته باشد بر مقاومت اولیه اثر مفید خواهد داشت. گو این‌که ممکن است یک دمای زیادتر طی درجا ریختن و گیرش، باعث مقاومت اولیه‌ی خیلی بیش‌تری گردد ولی امکان دارد به‌طور نامطلوبی بر مقاومت از ۷ روز به بعد اثر بگذارد. توجیه این موضوع آن است که به نظر می‌رسد هیدراسیون سریع اولیه، تشکیل محصولاتی با ساختمان فیزیکی ضعیفتر و احتمالاً تخلخل بیش‌تر بددهد به‌طوری‌که همیشه نسبت زیادی از منافذ پر نشده باقی بمانند [۱].

توجیه اثرات نامساعد یک دمای اولیه‌ی زیاد بر مقاومت بعدی بتن توسط وربک و هلموت بسط داده شد. آن‌ها پیشنهاد نمودند که روند سریع هیدراسیون اولیه در دماهای زیاد باعث کند شدن هیدراسیون بعدی می‌گردد و محصولات هیدراسیون در داخل خمیر به‌طور غیریکنواخت پخش می‌شوند. دلیل آن‌ها این بود که با روند سریع هیدراسیون اولیه زمان کافی برای نفوذ محصولات هیدراسیون به دور ذرات سیمان به صورت یکنواخت رسوب نمودن در فضای بین ذرات (مانند حالت دمای کمتر) وجود نخواهد داشت و در نتیجه غلظت زیادی از محصولات هیدراسیون در حوالی ذراتی که هیدراته می‌شوند به وجود می‌آید و باعث کند شدن هیدراسیون بعدی می‌گردد و بالاخره بر مقاومت درازمدت اثر نامطلوب خواهد داشت [۱].

به علاوه توزیع غیریکنواخت محصولات هیدراسیون نیز به خودی خود به‌نحو نامطلوبی بر مقاومت اثر خواهد گذاشت زیرا نسبت ژل به فضا در

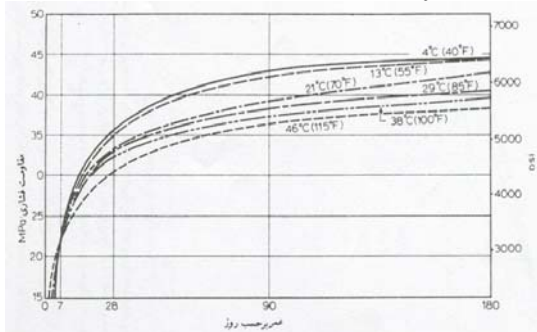
### مقدمه

یکی از روش‌های استفاده از بتن، تولید قطعات به‌روش پیش‌ساخته است و یکی از پرکاربردترین این قطعات، جداول بتنی می‌باشند. روش‌های تولید جداول پیش‌ساخته عبارتند از روش معمولی، روش فشاری خشک و روش فشاری تر. در روش فشاری خشک، بتن با سطح کارایی خیلی سفت تا خیلی خشک که بتنی با اسلامپ صفر می‌باشد، در قالب ریخته و با فشار متراکم می‌شود. یکی از مزایای روش فشاری خشک، سرعت اجرا و خروج قطعه از قالب بلافضلله پس از جای‌دهی و تراکم است که عدم نیاز به تعداد زیادی قالب را به‌دبیال دارد. هم‌چنین نسبت آب به سیمان پایین در بتن‌های مورد استفاده در این روش، بهبود کیفیت بتن را سبب می‌گردد.

دست‌یابی به ویژگی‌های مقاومتی و دوامی مطلوب در قطعات بتنی می‌تواند نتیجه‌ی عوامل مختلفی باشد؛ از جمله مصالح مناسب، طرح اختلاط صحیح و رعایت اصول فنی در ساخت، حمل، جای‌دهی و عمل آوری. یکی از مواردی که در شرایط ساخت بتن تأثیرگذار است، شرایط آب و هوایی در هنگام اختلاط و جای‌دهی بتن می‌باشد. شرایط آب و هوایی گرم یا سرد به طرق مختلفی بر کیفیت بتن تأثیر می‌گذارند که یکی از آن‌ها افزایش یا کاهش دمای اولیه‌ی بتن می‌باشد.

تحقیقات مختلفی در سطح دنیا در مورد تأثیر دمای بتن بر کیفیت آن انجام شده است ولی این تحقیقات تأثیر دمای بتن در هنگام ریختن و نیز دمای عمل آوری را به‌طور توان مطالعه نموده‌اند و تا جایی که بررسی‌های محقق نشان می‌دهند، دمای ریختن بتن به‌طور مستقل موضوع پژوهش نبوده است. تأثیر روش تولید فشاری (پرسی) و بتن با اسلامپ صفر نیز زمینه‌ی تازه‌ای برای پژوهش می‌باشد. لذا هدف این تحقیق عبارتست از بررسی اثر دمای ریختن بتن بر کیفیت جداول بتنی تولیدشده به‌روش فشاری خشک و

نتایج آزمایش‌ها نشان دادند که کارایی بتن به طور قابل توجهی متاثر از دمای ریختن آن است. در دمای  $23^{\circ}\text{C}$  اسلامپ معادل ۲۱۴ درصد اسلامپ در دمای  $10^{\circ}\text{C}$  و اسلامپ در دمای  $23^{\circ}\text{C}$  معادل ۸۰ درصد اسلامپ در دمای  $23^{\circ}\text{C}$  بود. زمان گیرش نیز به طور مشابه تحت تأثیر دمای ریختن قرار داشت. مقاومت فشاری در روزهای اول برای بتن ساخته شده و عمل آوری شده در دمای  $23^{\circ}\text{C}$  بالاتر از بتن  $23^{\circ}\text{C}$  بود ولی بعد از ۷ روز نتیجه عکس بود. بتن با دمای  $10^{\circ}\text{C}$  مقاومت فشاری اولیه‌ای پایین‌تر از بتن با دمای  $23^{\circ}\text{C}$  داشت ولی در سینی بالاتر، مقاومت بالاتر و یا برابر با بتن با دمای  $23^{\circ}\text{C}$  بود. نتایج پژوهش بورگ در مورد تأثیر دمای ریختن و عمل آوری بر مقاومت فشاری، مشابهت زیادی با گزارش‌های آزمایش‌های انجام شده توسط کلیگر دارد.



شکل ۱ اثر دما طی دو ساعت اول پس از مخلوط کردن بتن بر مقاومت [۲ و ۱]

در پژوهشی به منظور بررسی جنبه‌های ریزساختاری بتن در ارتباط با دمای اولیه و دمای عمل آوری، از تکنیک میکروسکوپ الکترونی استفاده شد [۵]. دو نمونه بتن با دمای اولیه  $20^{\circ}\text{C}$  و  $50^{\circ}\text{C}$  ساخته و در اولین روز پس از ریختن در قالب در دو شرایط عمل آوری دمای  $20^{\circ}\text{C}$  و  $35^{\circ}\text{C}$  نگهداری شدند و پس از باز کردن قالب در آب با دمای  $20^{\circ}\text{C}$  تا زمان آزمایش قرار داده شدند. پس از ۲۸ روز نمونه‌ها تحت آزمایش مقاومت فشاری قرار گرفتند و کاهش در مقاومت برای نمونه‌های با دمای اولیه بالاتر و نیز دمای عمل آوری بالاتر مشاهده گردید. سطوح شکست

بین ذرات، کم‌تر از حالت توزیع یکنواخت و با درجه‌ی هیدراسیون یکسان خواهد بود. نقاط موضعی ضعیفتر باعث پائین‌آوردن کل مقاومت خمیر می‌گردد [۱].

تأثیر دما طی اولین دو ساعت پس از مخلوط کردن بتن بر توسعه‌ی مقاومت، توسط پرایس بررسی گردیده است. در بررسی او بتن با نسبت آب به سیمان  $0.53$  ساخته شد. دامنه‌ی دمایها بین  $4$  تا  $46$  درجه سانتی‌گراد بود و پس از عمر دو ساعت تمام نمونه‌ها در دمای  $21$  درجه سانتی‌گراد عمل آوری شدند [۲] و [۱]. شکل (۱) نمایانگر نتایج این پژوهش می‌باشد. مشاهده می‌شود که مقاومت نهایی بتن‌های با دمای اولیه‌ی پایین، بیش‌تر از مقاومت بتن‌های با دمای اولیه‌ی بالا است. با بررسی میکروسکوپی ریز ساختار سیمان هیدراته شده، اکثر محققان این افزایش مقاومت را به یکنواخت‌تر بودن خمیر هیدراته شده (به خصوص پخش فضاهای ریز در خمیر) نسبت می‌دهند [۲]. آزمایش‌های کلیگر نشان دادند که طی عمر اولیه‌ی بتن، یک دمای بهینه وجود دارد که منتهی به بالاترین تأثیر دمای اولیه بالای بتن بر مقاومت فشاری همچنین تأثیر دمای عمل آوری می‌گردد [۳]. کلیگر در این تحقیق دمای بتن در زمان اختلاط، ریختن و عمل آوری  $23^{\circ}\text{C}$ ،  $32^{\circ}\text{C}$ ،  $41^{\circ}\text{C}$  و  $49^{\circ}\text{C}$  درجه‌ی سانتی‌گراد بود. پس از ۲۸ روز نمونه‌ها در دمای  $23^{\circ}\text{C}$  به صورت مرطوب عمل آوری شدند. نتایج نشان دادند که اگرچه نسبت به دمای  $23^{\circ}\text{C}$  دمای بتن بالاتر، مقاومت اولیه‌ی بالاتر ایجاد می‌کند ولی در سینی بعدی مقاومت کاهش می‌یابد. از دیگر نتایج این تحقیق، تأثیر دما بر مقاومت خمیری بود، مشاهده گردید که این تأثیر همانند تأثیر بر مقاومت فشاری است. در تحقیقی که در سال ۱۹۹۶ توسط بورگ انجام شد [۴] بتن‌هایی با دمای‌های اولیه  $10^{\circ}\text{C}$ ،  $23^{\circ}\text{C}$  و  $32^{\circ}\text{C}$  درجه‌ی سانتی‌گراد ساخته شدند و در همان دمای ریختن، عمل آوری شدند.

ACI 211.3R (راهنمای طرح اختلاط بتن بدون اسلامپ) بتن‌های با اسلامپ کمتر از ۲۵ میلی‌متر را بتن بدون اسلامپ در نظر گرفته است و آزمایش‌هایی چون وی‌بی، ضربی تراکم، تراکم اصلاح شده و میز سقوط تالو را برای تعیین روانی این بتن‌ها مناسب دانسته است [7].

به دلیل روانی پایین بتن بدون اسلامپ، روش‌های معمول تهیهٔ نمونه‌های آزمایشگاهی از جمله استانداردهای ASTM C31 (روش استاندارد ساخت و عملآوری آزمونه‌های آزمایشی بتن در کارگاه) و ASTM C192 (روش استاندارد ساخت و عملآوری آزمونه‌ی آزمایشی بتن در آزمایشگاه) برای این نوع بتن مناسب نیستند. با وجود آن‌که چند روش برای این منظور به کار گرفته شده است ولی تاکنون روش استانداردی از سوی ASTM ارائه نشده است. البته در مورد بتن غلتکی استاندارد ASTM C1176 [8] برای تهیهٔ آزمونه‌های آزمایشی استوانه‌ای و ASTM C1170 [9] برای تعیین روانی و وزن مخصوص با استفاده از میز ویره، وجود دارند.

روش‌های دیگری که برای تهیهٔ آزمونه‌های آزمایشی از بتن بدون اسلامپ به کار گرفته شده‌اند عبارتند از استفاده از چکش ارتعاشی برقی، روش تراکم پروکتور اصلاح شده (طبق ASTM D 1557) و استفاده از چکش‌های بادی. روش به کار گرفته شده باید تراکمی را ایجاد کند که وزن مخصوص نمونه با وزن مخصوص بتن متراکم شده در محل اجرا قابل مقایسه باشد [10]. استاندارد CSA A23.2-12C (ساخت، عملآوری و آزمایش آزمونه‌های آزمایش فشاری بتن بدون اسلامپ) نیز استفاده از چکش روش پروکتور اصلاح شده و نیز چکش‌های ضربه‌ای برقی را مناسب معرفی کرده است [11].

### مصالح مصرفی و برنامه‌ی آزمایشگاهی

در این پژوهش بتن‌هایی با سطح روانی خیلی خشک با استفاده از سیمان پرتلند و طرح اختلاط یکسان و

در محل خمیر سیمان و نیز سطح مشترک خمیر سیمان و سنگدانه توسط میکروسکوپ موردن بررسی قرار گرفتند. در بتن با دمای اولیه  $50^{\circ}\text{C}$  و نیز بتن با دمای عملآوری ابتدایی  $35^{\circ}\text{C}$ ، توده‌ی خمیر سیمان اغلب به شکل با بافت سطحی ضعیف بود. خلل و فرج و منافذ موئینه نیز در دماهای بالاتر، بیشتر مشاهده می‌شدند به خصوص در مجاورت سطح مشترک خمیر و سنگدانه. برای دماهای اولیه‌ی بالاتر و دمای عملآوری بالاتر، خمیر سیمان در اطراف سنگدانه متخلخل تر بود. در شرایط دمای بالاتر، کریستال‌های هیدروکسید کلسیم به‌طور مشخص در سطح مشترک خمیر و سنگدانه قابل مشاهده بودند.

در تحقیقی که در سال ۱۳۸۷ انجام شده است [۶] تأثیر دمای اولیه‌ی بتن بر برخی پارامترهای مقاومتی و دوامی آن مطالعه گردیده است. بتن‌هایی با طرح اختلاط یکسان و دماهای اولیه‌ی  $10^{\circ}\text{C}$ ،  $20^{\circ}\text{C}$  و  $40^{\circ}\text{C}$  درجه‌ی سانتی‌گراد ساخته و در شرایط استاندارد آزمایشگاهی تا زمان آزمایش نگهداری شدند. در سن ۷ روز مقاومت فشاری بتن با دمای اولیه‌ی  $40^{\circ}\text{C}$  سانتی‌گراد بیشترین مقدار و بتن با دمای اولیه‌ی  $10^{\circ}\text{C}$  درجه‌ی سانتی‌گراد کمترین مقدار را داشت ولی در سن ۹۱ روز نتایج عکس بود. در سن ۲۸ روز و  $42^{\circ}\text{C}$  روز بیشترین مقاومت فشاری و مقاومت کششی مربوط به بتن با دمای اولیه‌ی  $20^{\circ}\text{C}$  درجه‌ی سانتی‌گراد بود. روند تغییرات مقاومت ویژه‌ی الکتریکی از سن ۲۸ تا ۹۱ روز مشابه مقاومت فشاری گزارش گردید. در مورد نتایج آزمایش‌های جذب آب در سن ۲۸ روز، کمترین میزان جذب آب و در مورد آزمایش افت وزنی در اثر یخ زدن و آب شدن در سن ۲۸ روز، کمترین میزان تخریب، مربوط به بتن با دمای اولیه‌ی  $20^{\circ}\text{C}$  درجه‌ی سانتی‌گراد بود.

### بتن بدون اسلامپ

روش‌های مختلفی برای تعیین روانی بتن وجود دارند که متداول‌ترین آن‌ها آزمایش اسلامپ است. مقاله‌ی

استاندارد تعیین جرم مخصوص، بازدهی و مقدار هوای بتن تازه) [1] از رابطه‌ی زیر استفاده گردید.

$$\frac{P_a}{P} \times 100 = \text{درصد هوای بتن}$$

که در آن  $P_a$  وزن مخصوص بتن با هوا،  $P$  وزن مخصوص بتن بدون هوا می‌باشد.

با اندازه‌گیری وزن و حجم جداول و نمونه‌های آزمایشگاهی، استفاده از رابطه‌ی فوق، درصد هوای وزن مخصوص جداول به ترتیب ۷ درصد و ۲۲۸۵ کیلوگرم بر مترمکعب و درصد هوای وزن مخصوص نمونه‌های آزمایشگاهی به ترتیب  $\frac{3}{4}$  درصد و ۲۳۷۳ کیلوگرم بر مترمکعب محاسبه گردید. این اختلاف به‌دلیل تفاوت در نیروی اعمال شده برای تراکم نمونه‌ی آزمایشگاهی و جدول می‌باشد.

طرح اختلاط بتن‌های ساخته شده در این تحقیق به‌طور خلاصه در زیر ارائه گردیده است:

سیمان مصرفی سیمان پرتلند نوع ۲ کارخانه‌ی تهران.  
حداکثر اندازه سنگدانه  $9/5$  میلی‌متر.

نسبت آب به سیمان  $0/35$ .

عيار سیمان  $400$  کیلوگرم در مترمکعب.  
آب کل  $193$  کیلوگرم در مترمکعب.

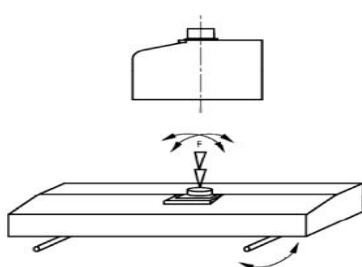
مقدار ماسه خشک  $1776$  کیلوگرم در مترمکعب.  
مقدار هوای  $3/4$  درصد.

وزن یک مترمکعب بتن متراکم تازه  $2373$  کیلوگرم.  
ساخت بتن با استفاده از مخلوط‌کن دارای پرهی مارپیچ گردنه انجام شد. برای ساخت نمونه‌های استوانه‌ای  $10 \times 20$  سانتی‌متر از چکش روش پروکتور اصلاح شده استفاده گردید. این چکش دارای  $4/5$  کیلوگرم وزن و ارتفاع سقوط  $457$  میلی‌متر می‌باشد. در این تحقیق، نمونه‌ها در سه لایه و هر لایه  $25$  ضربه ساخته شدند. جداول ساخته شده دارای طول  $50$  سانتی‌متر، عرض  $35$  سانتی‌متر و ضخامت  $15$  سانتی‌متر بودند. نمونه‌های آزمایشگاهی پس از ریختن بتن در قالب، به مدت  $24$  ساعت در دمای آزمایشگاه حدود  $24$  درجه‌ی سانتی‌گراد نگهداری و پس از

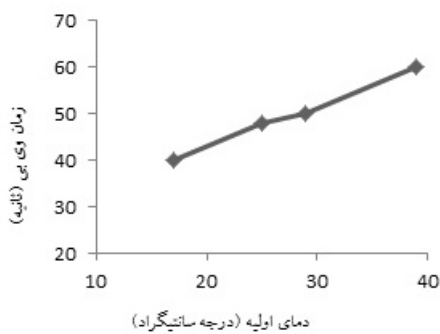
دهماهی اولیه‌ی  $17$ ،  $25$  و  $39$  درجه‌ی سانتی‌گراد ساخته و تعدادی نمونه آزمایشگاهی و همچنین جدول كامل از آن‌ها تهیه و در شرایط استاندارد عمل آوری شدند. سپس در سینم مختلف آزمایش‌هایی بر روی نمونه‌های آزمایشگاهی، مغزه‌های گرفته شده از جداول و نیز جداول كامل انجام گرفت. این آزمایش‌ها مشخص کننده‌ی جنبه‌های مقاومتی و دوامی بتن می‌باشند.

فعالیت‌های آزمایشگاهی در این پژوهش در چهار مرحله انجام شدند. در مرحله‌ی اول با انجام آزمایش‌هایی بر مصالح مصرفی، ویژگی‌های آن‌ها به‌منظور استفاده در مراحل بعدی شناسایی شد. مرحله‌ی دوم عبارت بود از تهیه‌ی طرح اختلاط بتن مورد استفاده. در مرحله‌ی سوم با توجه به سطح روانی بتن مورد استفاده، پس از بررسی و انتخاب روش تهیه‌ی نمونه‌ی آزمایشگاهی، بتن با طرح اختلاط مورد نظر و با دهها اولیه‌ی متفاوت ساخته و تعدادی نمونه‌ی آزمایشگاهی و تعدادی جدول كامل از آن تهیه و در شرایط استاندارد آزمایشگاهی تا زمان آزمایش، عمل آوری گردیدند. در مرحله‌ی چهارم که مهم‌ترین و جامع‌ترین بخش تحقیق بود، آزمایش‌های مقاومتی و دوامی بر روی بتن سخت‌شده در سینم مختلف صورت گرفت که عبارت بودند از: آزمایش مقاومت فشاری، آزمایش مقاومت ویژه‌ی الکتریکی، آزمایش مقاومت خمی، آزمایش عمق نفوذ آب تحت فشار، آزمایش جذب آب اولیه و نهایی و آزمایش جذب آب موئینه.

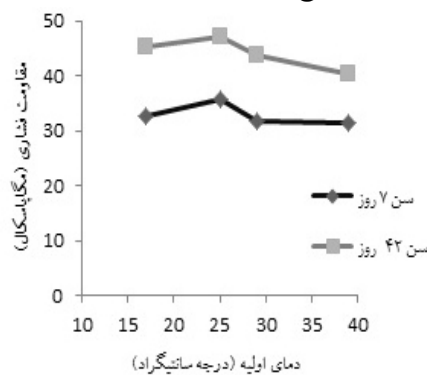
از آنجا که تعیین میزان هوای محبوس در بتن برای بتن‌های غیرخمیری که با روش‌های معمول بتن‌های خمیری قابل متراکم کردن نیستند، مطابق استانداردهای ASTM C173 (روش آزمایش استاندارد تعیین مقدار هوای بتن تازه به روش حجمی) و ASTM C231 (روش آزمایش استاندارد تعیین مقدار هوای بتن تازه به روش فشاری) امکان‌پذیر نیست، برای این منظور طبق ASTM C138 (روش آزمایش



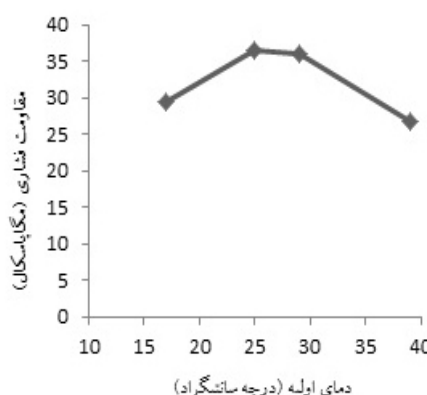
شکل ۲ نحوه اعمال بار خمی برشی بر جدول در آزمایش مقاومت  
خمی



شکل ۳ نتایج آزمایش ویبی بر بتون تازه



شکل ۴ مقاومت فشاری نمونه‌های آزمایشگاهی برای دماهای  
اولیه مختلف



شکل ۵ مقاومت فشاری مغزه‌ها در سن ۴۲ روز

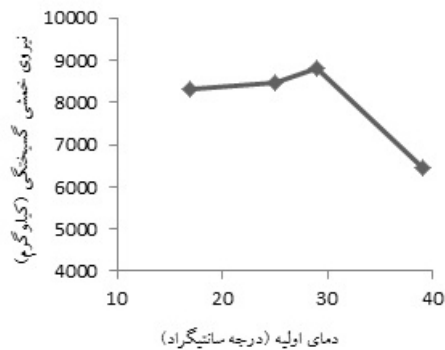
خارج کردن از قالب به اتاق عمل آوری منتقل شدند. جداول بتنی نیز در شرایط استاندارد عمل آوری گردیدند. روانی هر یک از بتن‌ها بلا فاصله پس از اختلاط بتن با استفاده از آزمون ویبی طبق BS EN 12350-3 [13] اندازه‌گیری شد. به ازای هر یک از دماهای اولیه و هر سن، برای آزمایش مقاومت فشاری از ۳ آزمونه و برای سایر آزمایش‌ها از ۲ آزمونه استفاده گردید.

با توجه به این‌که تاکنون روش آزمون استانداردی برای آزمایش مقاومت ویبی الکتریکی تدوین نشده است، برای انجام این آزمایش از دستورالعمل ارائه شده در [۱۴] استفاده شد. آزمایش تعیین مقاومت خمی بر طبق استاندارد BS EN 1340 (جدوال بتنی - الزامات و روش‌های آزمون) [15] بر روی جدول کامل انجام گردید. در این آزمایش بار نقطه‌ای بر مرکز جرم جدول که به صورت خوابیده و در بیشترین بعد آن روی تکیه‌گاه‌ها قرار گرفته است شکل (۲) بدون اعمال ضربه و با آهنگ افزایش  $0.6 \pm 0.02$  مگاپاسکال بر ثانیه اعمال می‌شود.

### نتایج آزمایش‌ها

نتایج آزمایش ویبی که بر روی بتون تازه انجام شد برای دماهای اولیه مختلف در شکل (۳) نمایش داده شده است. در مورد نتایج آزمایش مقاومت فشاری، مشاهده شد که در نمونه‌های آزمایشگاهی در سن ۷ و ۴۲ روز بیشترین مقاومت فشاری مربوط به بتون با دماهی اولیه  $25^{\circ}\text{C}$  می‌باشد و در این سینه، بتون با دماهی اولیه  $39^{\circ}\text{C}$  کمترین مقاومت فشاری را دارد. در مغزه‌های گرفته شده از جداول، مانند نتایج نمونه‌های آزمایشگاهی، بیشترین مقاومت فشاری مربوط به بتون با دماهی اولیه  $25^{\circ}\text{C}$  و کمترین مقاومت مربوط به بتون با دماهی اولیه  $39^{\circ}\text{C}$  بود. این نتایج در شکل‌های (۵) و (۴) نشان داده شده است.

۲۹°C و کمترین مقدار مربوط به جدول با دمای اولیه ۳۹°C بود.



شکل ۸ نیروی خمشی گسیختگی جداول بتی در سن ۴۲ روز

جدول ۱ نتایج آزمایش عمق نفوذ آب تحت فشار در سن ۴۲ روز

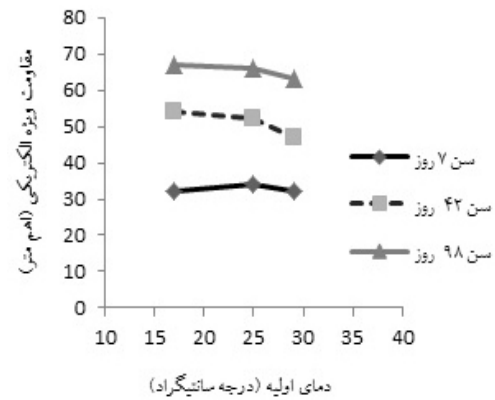
۳۹	۲۹	۲۵	۱۷	دماهای اولیه (درجه سانتیگراد)
-	۲۰	۲۱	۲۱	عمق نفوذ آب تحت فشار (میلی متر)

نتایج آزمایش عمق نفوذ آب تحت فشار در جدول (۱) نشان داده شده است. در بتن با دمای اولیه ۳۹°C، در دقایق اولیه پس از شروع آزمایش، آب به تمام عمق نمونه نفوذ نمود.

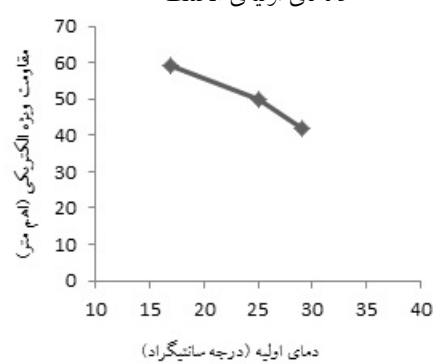
کمترین میزان جذب آب نهایی مربوط به بتن با دمای اولیه ۲۵°C و بیشترین مقدار مربوط به بتن با دمای اولیه ۳۹°C بود شکل (۹). روند تغییرات جذب آب برای دماهای اولیه مختلف، در نمونه های آزمایشگاهی با قطعات جدول یکسان بود.

نتایج آزمایش جذب آب اولیه که بر روی نمونه های آزمایشگاهی و مغزه های گرفته شده از جداول انجام شد، همان طور که در شکل (۱۰) مشاهده می شود، مانند نتایج آزمایش جذب آب نهایی بود.

کمترین نرخ جذب آب موئینه مربوط به بتن با دمای اولیه ۲۵ درجه سانتیگراد و بیشترین مقدار مربوط به بتن با دمای اولیه ۲۹ درجه سانتیگراد



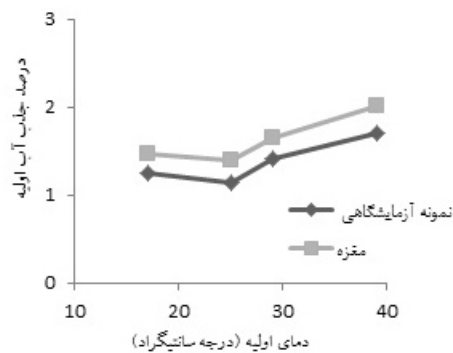
شکل ۶ مقاومت ویژه الکتریکی نمونه های آزمایشگاهی برای دماهای اولیه مختلف



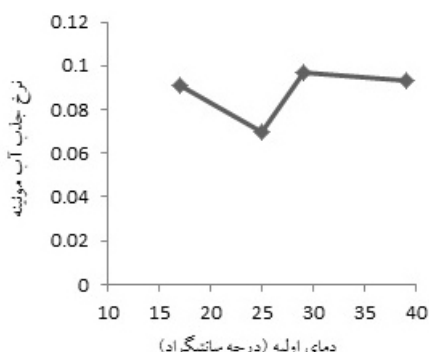
شکل ۷ مقاومت ویژه الکتریکی مغزه ها در سن ۴۲ روز نتایج

آزمایش مقاومت ویژه الکتریکی که برای محدوده دماهای اولیه ۱۷ تا ۲۹ درجه سانتیگراد انجام شد نشان داد که کمترین مقاومت ویژه الکتریکی در تمام سینین متعلق به بتن با دمای اولیه ۲۹°C و بیشترین مقدار در سن ۷ روز متعلق به بتن با دمای اولیه ۲۵°C و در سن ۴۲ و ۹۸ روز متعلق به بتن با دمای اولیه ۱۷°C می باشد. البته در سن ۷ روز نتایج به هم نزدیک بودند. روند تغییرات مقاومت ویژه الکتریکی در مغزه ها مانند نمونه های آزمایشگاهی بود (شکل های ۷ و ۶). نتایج آزمایش مقاومت خمشی که در سن ۴۲ روز بر روی جدول كامل انجام گرفت، در شکل (۸) نشان داده شده است. بیشترین نیروی گسیختگی و یا به عبارتی بیشترین مقاومت خمشی مربوط به جدول با دمای اولیه

۷ روز بیشترین مقاومت برای بتن با دمای اولیه بالا (۴۰ درجه سانتی گراد) و کمترین مقاومت را برای بتن با دمای اولیه پایین (۱۰ درجه سانتی گراد) گزارش شده است. در تحقیق وی، در سن ۴۲ روز بیشترین و کمترین مقاومت فشاری به ترتیب متعلق به بتن با دمای اولیه ۲۰ و ۴۰ درجه سانتی گراد است. لذا نتایج آزمایش مقاومت فشاری در تحقیق حاجی تقی تهرانی با نتایج تحقیق حاضر در سن ۷ روز تفاوت دارد ولی در سن ۴۲ روز به هم نزدیک است. در تحقیق وی، بیشترین مقاومت ویژه الکتریکی در سن ۴۲ روز متعلق به بتن با دمای اولیه  $20^{\circ}\text{C}$  و در تحقیق حاضر متعلق به بتن با دمای اولیه  $17^{\circ}\text{C}$  می‌باشد که تقریباً مشابه هم می‌باشند.



شکل ۱۰ جذب آب اولیه در سن ۴۲ روز

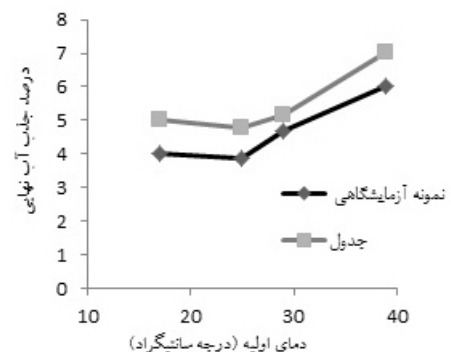


شکل ۱۱ نرخ جذب آب موئینه در سن ۴۲ روز

بود که در شکل (۱۱) نشان داده شده است.

## بحث و نتیجه‌گیری

با افزایش دمای اولیه بتن، همان‌طور که انتظار می‌رفت، روانی کاهش یافت که در افزایش زمان وی‌بی قابل مشاهده است. به طور تقریبی به‌ازای هر یک درجه سانتی‌گراد افزایش در دمای اولیه بتن، زمان وی‌بی یک ثانیه افزایش یافت.



شکل ۹ جذب آب نهایی در سن ۴۲ روز

نتایج آزمایش مقاومت فشاری با گزارش‌های نتایج تحقیقات قبلی که در بخش دوم مقاله به آن‌ها اشاره شد، تفاوت‌ها و مشابهت‌هایی دارد. در تحقیق پرایس [۱] در سن ۷ روز تقریباً همهی مقاومت‌ها یکسان بودند و در سنین بالاتر، بیشترین مقاومت‌ها مربوط به دماهای اولیه پایین و کمترین مقاومت‌ها در بتن‌های با دمای اولیه بالا گزارش گردید. در تحقیق حاضر، در سن ۷ روز در مقایسه با تحقیق پرایس، مقادیر مقاومت‌ها برای دماهای مختلف، به هم نزدیک نیستند و در سنین بالاتر نیز برخلاف تحقیق پرایس که بیشترین مقاومت را برای دماهای اولیه حدود  $15^{\circ}\text{C}$  گزارش نموده است، در این تحقیق بتن با دمای اولیه  $25^{\circ}\text{C}$  بیشترین مقاومت را کسب کرده است. هم‌چنان در هر دو تحقیق، هر چه سن نمونه‌ها بیشتر می‌شود، دامنه‌ی تغییرات نتایج افزایش می‌یابد. در تحقیقی که توسط حاجی تقی تهرانی [۶] انجام شده است، در سن

در صد هوای بیشتر جداول نسبت به نمونه‌های آزمایشگاهی باشد.

با توجه به آزمایش‌های انجام شده و نتایج به دست آمده از آن‌ها، نتایج حاصل از این تحقیق به طور خلاصه به شرح زیر می‌باشند:

۱- با افزایش دمای ریختن بتن، روانی که در این تحقیق با آزمایش ویبی اندازه‌گیری شد کاهش یافت.

۲- در سنین ۷ و ۴۲ روز، بیشترین مقاومت فشاری در بتن با دمای اولیه  $25^{\circ}\text{C}$  و کمترین مقاومت در بتن با دمای اولیه  $39^{\circ}\text{C}$  مشاهده گردید.

۳- مقاومت فشاری نمونه‌های آزمایشگاهی بیشتر از مقاومت مغزه‌های گرفته شده از جداول بود که علت آن را می‌توان به مقدار هوای غیرعمدی محبوس در بتن جداول نسبت داد که بسیار بیشتر از هوای غیرعمدی نمونه‌های آزمایشگاهی بود. این اختلاف در میزان هوا، به دلیل تفاوت در میزان تراکم بتن در آن‌ها است.

۴- بیشترین مقاومت خمی مربوط به جداول با دمای ریختن  $29^{\circ}\text{C}$  و کمترین مقدار مربوط به دمای  $39^{\circ}\text{C}$  بود.

۵- در مورد نتایج آزمایش مقاومت ویژه‌ی الکتریکی که بر روی نمونه‌های با دمای اولیه ۱۷، ۲۵ و ۲۹ درجه‌ی سانتی‌گراد انجام شد، بیشترین مقدار مقاومت ویژه‌ی الکتریکی در سنین ۴۲ و ۹۸ روز متعلق به بتن با دمای اولیه  $17^{\circ}\text{C}$  و در تمام سنین، کمترین مقدار مربوط به بتن با دمای اولیه  $29^{\circ}\text{C}$  بود. در سن ۷ روز نتایج این آزمایش برای دماهای اولیه مختلف، بهم نزدیک بودند.

۶- نتایج آزمایش عمق نفوذ آب تحت فشار برای دماهای اولیه ۱۷، ۲۵ و ۲۹ درجه‌ی سانتی‌گراد، بهم نزدیک بودند و بتن با دمای اولیه  $39^{\circ}\text{C}$  بیشترین عمق نفوذ را دارا بود.

۷- نتایج آزمایش‌ها جذب آب اولیه و جذب آب

البته این امکان وجود دارد که در سنین بالاتر از ۴۲ روز، مقاومت فشاری نمونه‌های با دمای اولیه ۱۷ درجه سانتی‌گراد از نمونه‌های با دمای اولیه ۲۵ درجه سانتی‌گراد، بیشتر شود که با آزمایش‌ها در سنین بالاتر مشخص می‌گردد.

نتایج آزمایش‌ها نشان دادند که مقاومت فشاری مغزه‌ها بسیار کمتر از مقاومت فشاری نمونه‌های آزمایشگاهی بود. علت آن را می‌توان به مقدار هوای غیرعمدی بیشتر در جداول نسبت به نمونه‌های آزمایشگاهی نسبت داد که منجر به تخلخل بیشتر و در نتیجه مقاومت کمتر می‌گردد. تفاوت زیادی که میان نتایج مقاومت فشاری نمونه‌های آزمایشگاهی با مغزه‌ها وجود داشت، در مورد نتایج مقاومت ویژه‌ی الکتریکی مشاهده نشد.

نتایج آزمایش عمق نفوذ آب تحت فشار که مشخصه‌ای برای تعیین نفوذپذیری بتن و میزان حفرات قابل نفوذ و مرتبط می‌باشد، برای دماهای ۱۷، ۲۵ و ۲۹ درجه‌ی سانتی‌گراد نزدیک بهم هستند، لذا به نظر می‌رسد این آزمایش و یا نحوه انجام آن، دقت کافی را برای نشان دادن تفاوت نفوذپذیری بتن‌های با دماهای اولیه متفاوت، نداشته باشد.

با توجه به نتایج آزمایش جذب آب، مشاهده شد که در سن ۴۲ روز، بتن با دمای اولیه  $25^{\circ}\text{C}$  کمترین میزان جذب آب و بیشترین مقاومت فشاری و بتن با دمای اولیه  $39^{\circ}\text{C}$  بیشترین میزان جذب آب و کمترین مقاومت فشاری را هم در نمونه‌های آزمایشگاهی و هم در مغزه‌ها داراست. از آنجا که آزمایش جذب آب، میزان تخلخل بتن را نشان می‌دهد، این رابطه‌ی معکوس میان نتایج دو آزمایش را می‌توان با توجه به رابطه‌ی معکوس میان تخلخل و مقاومت فشاری که در قالب رابطه‌ی بین مقاومت فشاری و نسبت ژل به فضای خالی در ملات سیمان ارائه شده است [۲]، توجیه نمود. درصد جذب آب نمونه‌های آزمایشگاهی کمتر از جذب آب جداول بود که می‌تواند مربوط به

چنین نتیجه گرفت که دماهای اولیه حدود  $40^{\circ}\text{C}$  و بالاتر به طور قابل ملاحظه‌ای کیفیت بتن را کاهش می‌دهند.

۱۰- با توجه به ویژگی‌ها و شرایط حاکم بر این تحقیق و در محدوده دمایی برای دمای اولیه بتن در این تحقیق، به نظر می‌رسد که دمای اولیه  $25^{\circ}\text{C}$  منجر به بهترین کیفیت در بتن می‌گردد.

۱۱- از نتایج به دست آمده از آزمایش‌ها می‌توان چنین نتیجه‌گیری کرد که دمای بتن در هنگام ریختن، پارامتر تأثیرگذاری بر ویژگی‌های مقاومتی و دوامی بتن‌های بدون اسلامپ می‌باشد.

نهایی از لحاظ روند تغییرات میزان جذب آب برای دماهای اولیه مختلف، مشابه هم بودند به طوری که بیشترین درصد جذب آب اولیه و نهایی مربوط به بتن با دمای اولیه  $29^{\circ}\text{C}$  کمترین مقدار مربوط به بتن با دمای اولیه  $25^{\circ}\text{C}$  بود.

۸- نرخ جذب آب مؤینه در بتن با دمای اولیه  $25^{\circ}\text{C}$  کمترین و در بتن با دمای اولیه  $29^{\circ}\text{C}$  بیشترین مقدار را دارا بود.

۹- در کلیه آزمایش‌های انجام شده، بتن با دمای اولیه  $39^{\circ}\text{C}$  ضعیف‌ترین نتایج را دارا بود لذا می‌توان

## مراجع

- نویل، ای.ام.. «بتن‌شناسی (خواص بتن)»، ترجمه هرمز فامیلی، تهران: انتشارات جهاد دانشگاهی دانشگاه علم و صنعت ایران، (۱۳۶۸).
- مهتا، پ.ک. و موته‌ئیرو، پ.ج.م، «اساختار، خواص و اجزای بتن (تکنولوژی بتن پیشرفته)»، ترجمه علی‌اکبر رمضانیان‌پور، پرویز قدوسی و اسماعیل گنجیان، تهران: انتشارات دانشگاه صنعتی امیرکبیر، (۱۳۸۳).
- Klieger, P., "Effect of Mixing and Curing Temperature on Concrete Strength", *Journal of the American Concrete Institute*, June, Vol. 54, pp. 1063-81, (1958).
- Burg, R.G. "The Influence of Casting and Curing Temperature on the Properties of Fresh and Hardened Concrete", Research and Development Bulletin RD113, Portland Cement Association, (1996).
- Mouret, M., Bascoul, A. and Escadeillas, G. "Microstructural Features of Concrete in Relation to Initial Temperature – SEM and ESEM Characterization", *Cement and Concrete Research*, Vol. 29, pp. 369-375, (1999).
- حاجی تقی تهرانی، پویا، ابررسی تأثیرات دمای اولیه بتن بر برخی پارامترهای دوامی آن در مورد جداول بتنی تهیه شده به روش سنتی، پایان نامه‌ی کارشناسی ارشد مهندسی عمران، دانشگاه علم و صنعت ایران، (۱۳۸۷).
- ACI 211.3R-02, "Guide for Selecting Proportions for No-Slump Concrete", Reported by ACI Committee 211, ACI Manual of Concrete Practice, American Concrete Institute, Farmington Hills, MI, (2006).
- ASTM C 1176-92, "Standard Practice for Making Roller- Compacted Concrete in Cylinder Molds Using a Vibrating Table", ASTM Standards, ASTM, West Conshohocken, PA, (2006).
- ASTM C 1170-91, "Standard Test Methods for Determining Consistency and Density of Roller- Compacted Concrete Using a Vibrating Table", ASTM Standards, ASTM, West Conshohocken, PA, (2006).
- ACI 207.5R-99, "Roller-Compacted Mass Concrete ", Reported by ACI Committee 207, *ACI Manual of concrete Practice*, American Concrete Institute, Farmington Hills, MI, (2006).

11. CSA A23.2-12C, "Making, Curing and Testing Compression Test Specimens of No-Slump Concrete", Canadian Standards Association, Ontario, (1994).
12. ASTM C 138/C 138M-01a," Standard Test Method for Density (Unit Weight),Yield, and Air Content (Gravimetric) of Concrete", ASTM Standards, ASTM, West Conshohocken, PA, (2006).
13. BS EN 12350-3, "Testing Fresh Concrete – Part 3: Vebe Test", British Standards Institution, London, (2000).
14. تدین، م، رضایی، ف، و نصرآزادانی، س.م، «مشخصات فنی، راهنمای تولید و پذیرش جداول بتونی پیش ساخته»، تهران، سازمان مهندسی و عمران شهر تهران، (۱۳۸۸).
15. BS EN 1340, "Concrete kerb units–Requirements and test methods", British Standards Institution, London, (2003).